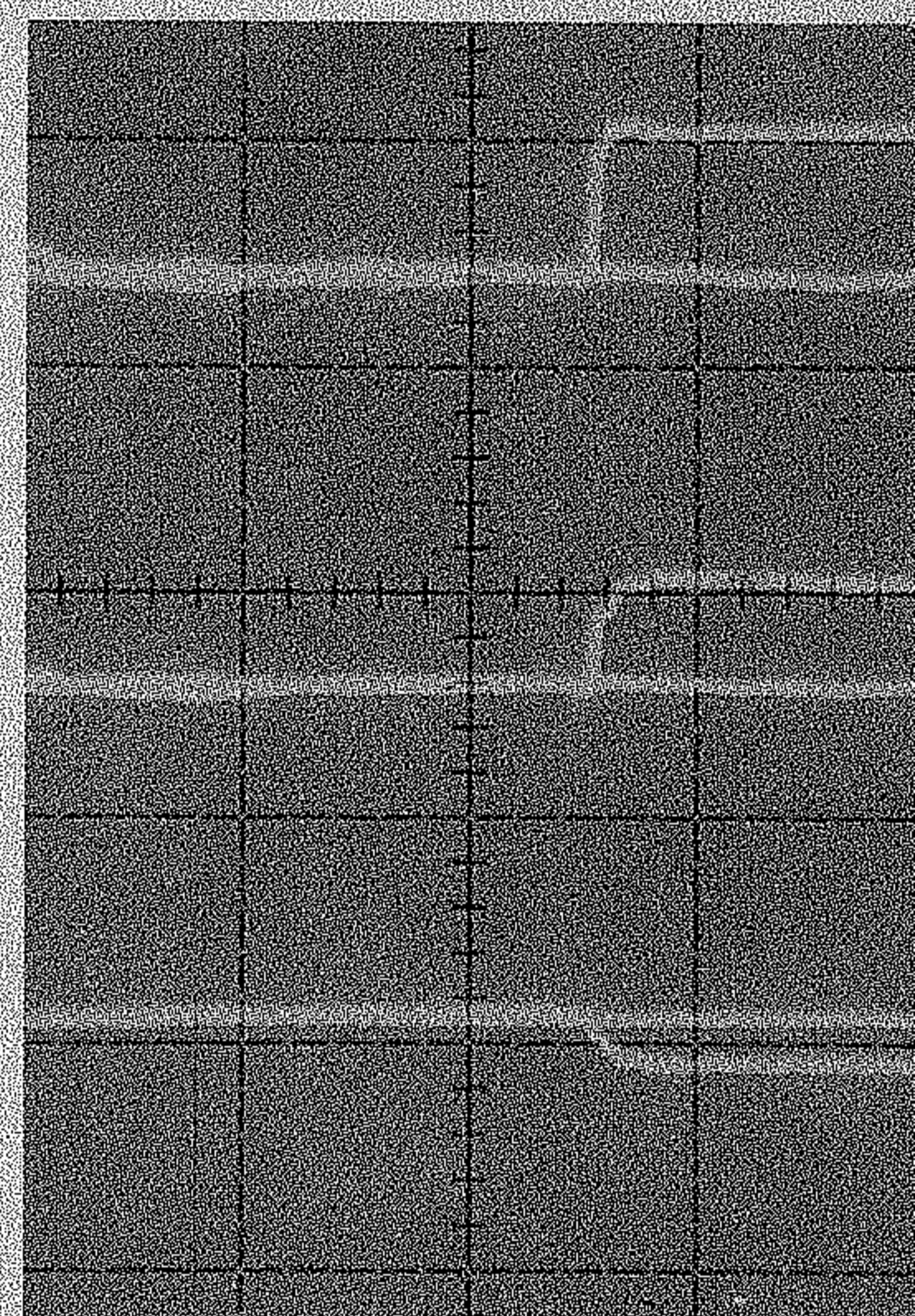
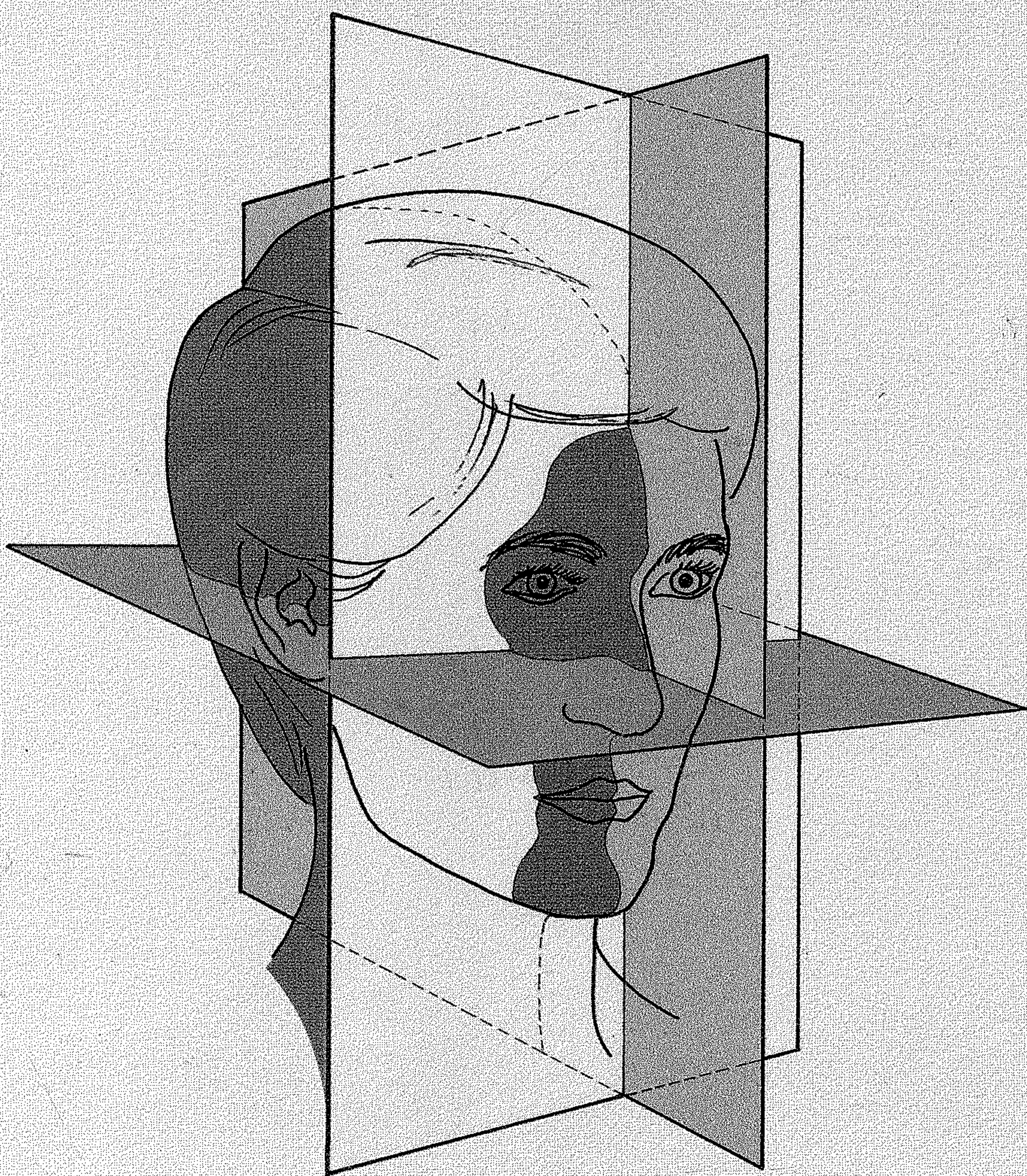


Atlas de Médecine Dentaire

Collection dirigée par
K.H. Rateitschak

Orthopédie dentofaciale Diagnostic

Thomas Rakosi et Irmtrud Jonas

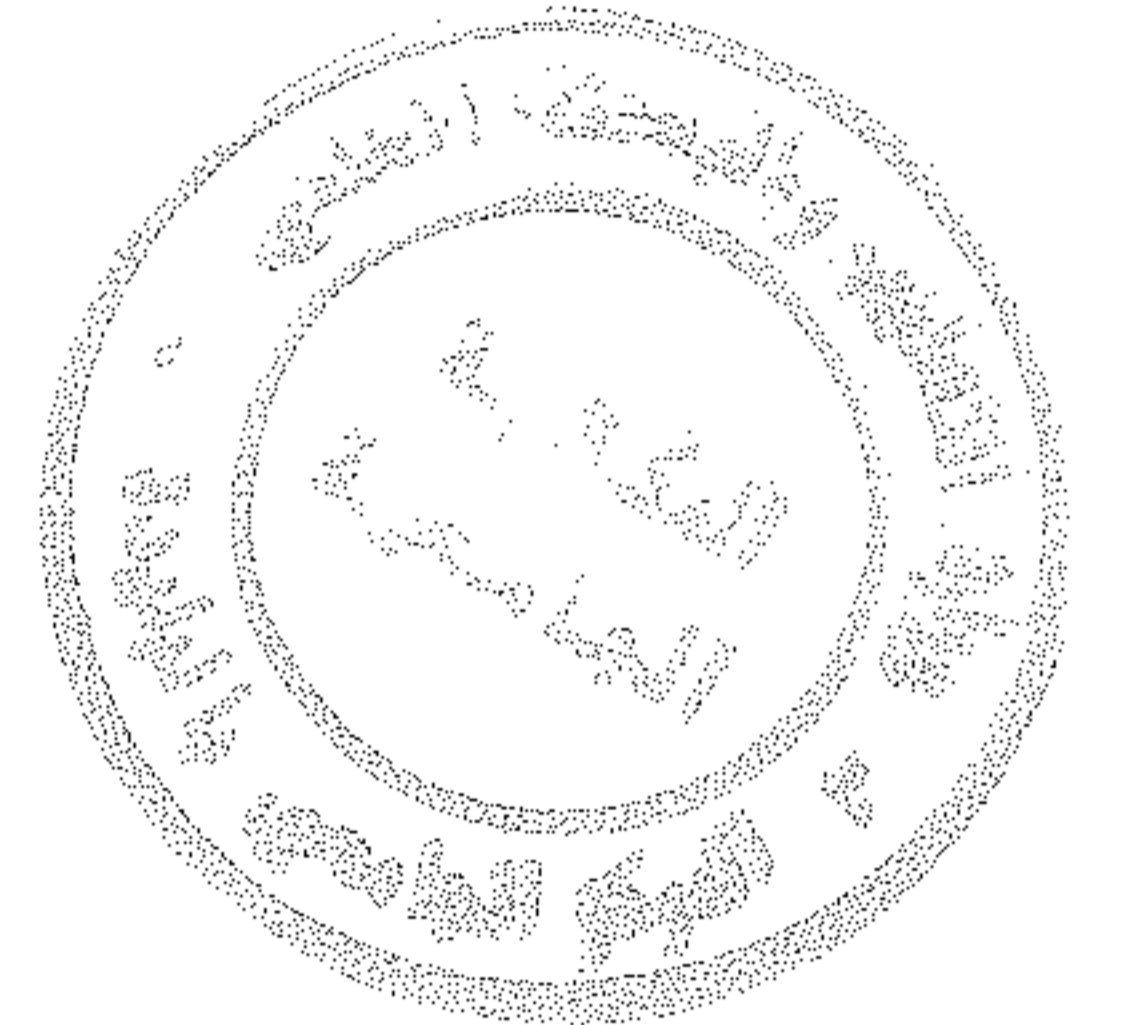


Médecine-Sciences
Flammarion

Atlas de médecine dentaire

(Collection dirigée par K. H. Rateitschak)

Orthopédie dentofaciale Diagnostic



Thomas Rakosi
et Irmtrud Jonas

Traduit de l'allemand par Pascale Leblanc

Chef de clinique - assistant, Service de chirurgie maxillofaciale et de Stomatologie,
Hôpital Saint-Louis, Paris

Sous la direction du Professeur Pierre Laudenbach

Stomatologiste honoraire des hôpitaux de Paris

Plus de 620 photos en couleurs
illustrant 1001 exemples

Médecine-Sciences
Flammarion

4, rue Casimir-Delavigne, 75006 Paris

Sommaire

V	Remerciements
VI	Sommaire
VIII	Avant-propos

Principes fondamentaux

3	Établissement du diagnostic	32	Influence sur les processus de croissance
4	Recueil des données	33	Mécanismes d'action des matrices fonctionnelles
5	Démarche diagnostique		
6	Croissance du massif facial	35	Classification des malpositions – Nomenclature
8	Ossification endomembraneuse	35	Malposition d'une seule dent
10	Ossification chondrale	37	Malposition d'un groupe dentaire
13	Mécanismes de croissance	45	Troubles de l'occlusion
14	Croissance osseuse endostée et périostée	51	Analyse de l'occlusion
15	Mouvement cortical		
17	Déplacement et transformation osseuse	57	Étiologie des anomalies
19	Principe du V	59	Origine des anomalies
20	Principe de la surface	60	Anomalies héréditaires
21	Territoires de croissance	60	Système neuromusculaire
22	Déplacement osseux	61	Système dentaire
23	Déroulement des processus de croissance	70	Os
23	Croissance du maxillaire supérieur	72	Dysgnathies
24	Croissance mandibulaire	74	Tissus mous
26	Croissance médiofaciale	75	Anomalies acquises
28	Équivalence de croissance	75	Anomalies du développement
29	Facteurs de croissance déterminants	77	Traumatismes
30	Facteurs locaux de la morphogenèse craniofaciale	80	Influence des facteurs physiques
31	Influence sur l'ossification enchondrale	82	Perte prématurée des dents de lait
31	Influence sur l'ossification endomembraneuse	83	Respiration
		85	Parafonctions – Dyskinésies orofaciales
		88	Pathologies

Démarche diagnostique

93	Anamnèse	116	Langue
96	Anamnèse	117	Freins labiaux et jugaux
97	Examen clinique	118	Gencives
97	Examen général	120	Muqueuse et voûte palatine
98	Âge dentaire	121	Examen clinique de l'occlusion
102	Âge biologique – Âge osseux	122	Examen clinique
108	Examen clinique spécialisé	123	Analyse fonctionnelle
108	Examen craniofacial	123	Recherche de la position de repos centrée – Intercuspitation maximale
110	Examen des parties molles	126	Enregistrement de la position de repos
110	Front	128	Analyse des rapports existant entre la position en relation centrée de repos et l'intercuspitation maximale
111	Nez		
112	Lèvres		
114	Menton		

128	Analyse dans le plan sagittal	194	Rotation du maxillaire supérieur
132	Analyse des relations entre position de repos et intercuspidation maximale dans le plan vertical	196	Combinaison de rotations maxillaires et mandibulaires
133	Analyse fonctionnelle du passage de la position de repos à l'intercuspidation maximale dans le plan transversal	198	Analyse de la position des incisives
135	Examen des articulations temporomandibulaires	200	Classification céphalométrique des anomalies
135	Examen clinique	204	Analyse radiocéphalométrique et pronostic thérapeutique
138	Mouvements d'ouverture et de fermeture de la mandibule	205	Fiche céphalométrique – Analyse téléradiographique de profil
140	Examen radiographique de l'articulation temporomandibulaire	207	Examen des moulages
141	Étude des dyskinésies	208	Analyse métrique de la forme des arcades
141	Déglutition	208	Largeur des arcades
145	Pressions linguales	211	Longueur antérieure de l'arcade
155	Dyskinésies labiales	213	Symétrie des maxillaires
158	Dyskinésies jugales	214	Symétrie transversale
159	Hypertonie des muscles du menton	216	Symétrie dans le plan sagittal
165	Analyse fonctionnelle – Recueil des données	218	Hauteur du palais
167	Examen radiologique	219	Analyse des secteurs latéraux
167	Bilan dentaire	220	Prédiction statistique corrélative
173	Analyse photographique	221	Analyse combinée radiologique et statistique
173	Photographie de profil	222	Évaluation de l'espace nécessaire en denture définitive
176	Courbure du profil	222	Évaluation de l'espace nécessaire selon Nance
177	Photographie de face	223	Analyse segmentaire de Lundström
179	Analyse céphalométrique sur téléradiographie de profil	224	Évaluation de la dysharmonie
180	Points de repère céphalométriques	227	Analyse verticale
182	Lignes de référence céphalométriques	228	Analyse de Bolton
184	Interprétation des mesures céphalométriques	231	Analyse des bases apicales de Rees
186	Analyse des mensurations des bases maxillaires	232	Étude de l'occlusion
188	Analyse sagittale des rapports des bases maxillaires	234	Tableau de recueil des données – Étude occlusale tridimensionnelle
190	Analyse verticale du squelette craniofacial	235	Plan de traitement
192	Directions de croissance – Rotation des bases maxillaires		

Cas cliniques

238	Cas clinique 1
244	Cas clinique 2
250	Cas clinique 3

Annexe – Cahier d'observation en orthopédie dentofaciale

258	Cahier d'observation
264	Crédit photographique
265	Bibliographie
269	Index